

УДК 541.138.3

**РАСЧЕТ ДИФФУЗИОННО-МИГРАЦИОННЫХ ТОКОВ В ЗАДАЧЕ
О ПАРАЛЛЕЛЬНОМ ЭЛЕКТРООСАЖДЕНИИ МЕТАЛЛОВ
И ВОССТАНОВЛЕНИИ АНИОНОВ В СИСТЕМАХ
С ПРОИЗВОЛЬНЫМИ ЗАРЯДНОСТЯМИ ИОНОВ**

Сокирко А. В., Харкац Ю. И.

Получено аналитическое решение электродиффузионной задачи о протекании параллельных процессов восстановления катионов и восстановления анионов с участием ионов водорода и с образованием анионов другого сорта для систем с произвольными зарядностями ионов. Проанализированы возможные условия перехода к режиму предельного тока для первого и второго процессов и определены области допустимых значений токов при параллельном протекании первого и второго процессов в стационарном режиме.

При протекании параллельных электродных процессов в отсутствие фонового электролита имеет место влияние одного из процессов на другой на стадии диффузионно-миграционного транспорта реагентов в диффузионном слое. Такого рода влияние может быть как односторонним, например в случае проявления эффекта экзальтации миграционного тока [1, 2], так и взаимным, например наблюдаемое при реализации эффекта корреляционной экзальтации миграционного тока [3]. В общем случае указанное влияние процессов может приводить как к возрастанию (экзальтации) предельного тока первой реакции за счет протекания параллельного второго процесса, так и его снижению (депрессии).

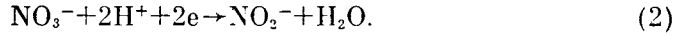
В [4] были проанализированы электродиффузионные задачи, описывающие параллельно протекающие процессы электроосаждения металлов и восстановления анионов из подкисленных растворов. Рассмотрены схемы, когда продуктом реакции восстановления анионов с участием ионов водорода является пейтральное вещество. Обобщение указанной задачи для случая нейтральных продуктов процесса восстановления анионов и систем с произвольными зарядностями ионов было выполнено в [5].

В настоящей работе дано аналитическое решение задачи о параллельно протекающих процессах восстановления анионов с участием ионов водорода и образования анионов другого сорта и восстановления катионов металлов для систем с произвольными зарядностями ионов.

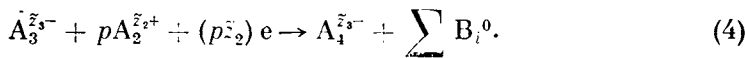
Примером указанных процессов может служить восстановление меди из нитратных растворов на твердых электродах



в предположении, что восстановление NO_3^- -ионов идет по схеме



Общая схема процессов указанного типа, в которых восстановление и восстанавливющиеся анионы имеют одинаковые заряды, может быть представлена в виде



Здесь индексы 1–4 соответствуют ионам осаждающегося металла, участвующего во второй реакции катиона, восстанавливающегося и получающегося анионов; $\text{A}_i^{\tilde{z}_i}$ – символ соответствующего компонента, B_i^0 – пейтральные продукты реакции (4), p – стехиометрический коэффициент и \tilde{z}_i – заряд соответствующего иона (причем $\tilde{z}_3 = \tilde{z}_4$).

Система электродиффузионных уравнений, описывающая схему (3) –

(4), имеет вид:

$$\frac{dc_1}{dx} + \tilde{z}_1 c_1 \frac{d\tilde{\Psi}}{dx} = \frac{1}{\tilde{z}_1} \frac{i_1 L}{FD_1 c^0} = j_1, \quad (5)$$

$$\frac{dc_2}{dx} + \tilde{z}_2 c_2 \frac{d\tilde{\Psi}}{dx} = \frac{1}{\tilde{z}_2} \frac{i_2 L}{FD_2 c^0}, \quad (6)$$

$$\frac{dc_3}{dx} - \tilde{z}_3 c_3 \frac{d\tilde{\Psi}}{dx} = \frac{1}{p\tilde{z}_2} \frac{i_2 L}{FD_3 c^0} = j_2, \quad (7)$$

$$\frac{dc_4}{dx} - \tilde{z}_3 c_4 \frac{d\tilde{\Psi}}{dx} = \frac{-1}{p\tilde{z}_2} \frac{i_2 L}{FD_4 c^0}, \quad (8)$$

$$\tilde{z}_1 c_1 + \tilde{z}_2 c_2 = \tilde{z}_3 (c_3 + c_4). \quad (9)$$

Здесь c_i — соответствующие концентрации, обезразмеренные на c_0 — концентрацию ионов металла в объеме раствора, D_i — соответствующие коэффициенты диффузии, $\tilde{\Psi} = FE/RT$ — безразмерный потенциал; x — безразмерная координата ($0 \leq x \leq L$), L — толщина диффузионного слоя Нернста; $j_1 > 0$ и $j_2 > 0$ — безразмерные токи. На границе диффузионного слоя заданы значения концентраций компонентов и потенциала:

$$c_1(1) = 1, c_2(1) = k, c_3(1) = (\tilde{z}_1 + k\tilde{z}_2)/\tilde{z}_3, c_4(1) = 0, \tilde{\Psi}(1) = 0. \quad (10)$$

Учтем, что коэффициенты диффузии исходного и получающегося анионов достаточно близки, $D_3 \approx D_4$. Кроме того, для упрощения записи введем относительные зарядности z_1 , z_2 и потенциал Ψ , определяемые соотношениями

$$z_1 = \tilde{z}_1/\tilde{z}_3, z_2 = \tilde{z}_2/\tilde{z}_3, \Psi = \tilde{z}_3 \tilde{\Psi}. \quad (11)$$

Величины z_1 , z_2 и Ψ совпадают с общепринятыми в случае $\tilde{z}_3 = 1$, который, в частности, соответствует схеме (1)–(2).

Используя (11), уравнения (5)–(9) можно переписать в виде:

$$\frac{dc_1}{dx} + z_1 c_1 \frac{d\Psi}{dx} = j_1, \quad (12)$$

$$\frac{dc_2}{dx} + z_2 c_2 \frac{d\Psi}{dx} = j_2 v, \quad (13)$$

$$\frac{dc_3}{dx} - c_3 \frac{d\Psi}{dx} = j_2, \quad (14)$$

$$\frac{dc_4}{dx} - c_4 \frac{d\Psi}{dx} = -j_2, \quad (15)$$

$$z_1 c_1 + z_2 c_2 = c_3 + c_4, \quad (16)$$

где параметр $v = pD_3/D_2$. Складывая (14) и (15) и вводя обозначение

$$c_5 = c_3 + c_4, \quad (17)$$

получаем уравнение

$$\frac{dc_5}{dx} - c_5 \frac{d\Psi}{dx} = 0. \quad (18)$$

Система уравнений (12), (13), (16), (18) с граничными условиями (10) описывает эффект корреляционной экзальтации миграционного тока. Она подробно проанализирована в [3]. Опираясь на схему получения решения, описанную в [3], ниже будет получено решение для c_1 , c_2 , c_3 и Ψ , а затем, используя уравнения (14) и (16), найдены концентрации c_3 и c_4 .

Из линейной комбинации уравнений (12)–(16) можно выразить величину $dx/d\Psi$ через концентрации компонентов:

$$\frac{dx}{d\Psi} = \frac{z_1(z_1 - z_2)c_1 + (1 + z_2)c_5}{j_1 z_1 + j_2 z_2} \quad (19)$$

Подставляя (19) в уравнения (12), (18) и переходя в них к новой независимой переменной Ψ , получаем систему двух линейных уравнений первого порядка относительно c_1, c_5 . Решение этой системы будем искать в виде $c \sim \exp(\lambda\Psi)$. При этом уравнение для характеристических значений λ имеет простые решения: одно из них равно 1, а второе

$$\lambda = -\frac{z_1 z_2 (1+J)}{z_1 + z_2 J}, \quad (20)$$

где $J = v j_2 / j_1$ — отношение потоков катионов второго и первого сортов. Профили концентраций c_1, c_5 могут быть найдены в виде линейной комбинации полученных экспонент. С учетом граничных условий (10) они могут быть представлены в виде

$$c_1 = \frac{c_5 = (z_1 + kz_2) e^\Psi}{(1+z_2)(z_1 + kz_2) e^\Psi + z_2 [J(z_1 + 1) - k(z_2 + 1)] e^{\lambda\Psi}}, \quad (21)$$

$$c_5 = \frac{(1+z_2)(z_1 + kz_2) e^\Psi + z_2 [J(z_1 + 1) - k(z_2 + 1)] e^{\lambda\Psi}}{z_1(z_2 + 1) - z_2 J(1+z_1)}. \quad (22)$$

Концентрация c_2 может быть теперь найдена из (21), (22) и условия электронейтральности (16). Таким образом, определены зависимости c_1, c_2 и c_5 от потенциала Ψ . Для того чтобы найти зависимость этих концентраций от координаты x , необходимо выразить последнюю через потенциал Ψ . Подставляя (21), (22) в (19), получаем

$$\frac{dx}{d\Psi} = \frac{1}{j_1} (A e^\Psi + B \lambda e^{\lambda\Psi}), \quad (23)$$

где A и B — константы, не зависящие от Ψ и x :

$$A = \frac{(z_1 + kz_2)(1+z_1)(1+z_2)}{z_1(z_2 + 1) - z_2 J(z_1 + 1)}, \quad (24)$$

$$B = \frac{(z_1 - z_2)[k(z_2 + 1) - J(z_1 + 1)]}{(1+J)[z_1(1+z_2) - Jz_2(1+z_1)]}. \quad (25)$$

Интегрируя (23) с учетом граничного условия (10), можно определить неявную зависимость потенциала от координаты:

$$x - 1 = \frac{1}{j_1} [A(e^\Psi - 1) + B(e^{\lambda\Psi} - 1)]. \quad (26)$$

Для того чтобы найти распределение каждой из концентраций c_3 и c_4 (а не только их суммы c_5), перейдем в (14) к независимой переменной Ψ . Подставив (23) в (14) и интегрируя с учетом (10), получим

$$c_3 = e^\Psi \left\{ (z_1 + kz_2) + A\Psi - B \frac{\lambda}{\lambda - 1} [1 - e^{(\lambda - 1)\Psi}] \right\}. \quad (27)$$

Выражение для c_4 получается из (17), (27) и (21). Таким образом, найдены в параметрическом виде через параметр Ψ зависимости концентраций c_1, c_2, c_3, c_4 от координаты x для произвольных значений токов j_1, j_2 .

Перейдем теперь к анализу ограничений на токи j_1, j_2 возникающих из-за возможности обращения в нуль на электроде концентраций отдельных компонентов раствора. Полагая в (26) $x=0$, найдем уравнение, определяющее значение потенциала на электроде Ψ_0 :

$$j_1 = A(1 - e^{\Psi_0}) + B(1 - e^{\lambda\Psi_0}). \quad (28)$$

В случае выполнения условия $c_1(x=0)=0$, соответствующего парциальному предельному току по ионам металла, исключая из (22) и (28)

Ψ_0 , находим соотношение, связывающее величины $j_1^{(1)}$ и J :

$$j_1^{(1)} = \frac{1}{1+J} \left\{ (z_1+1) + k(z_2+1) - (z_1+kz_2) \left(\frac{1+z_2}{z_2} \right) \times \right. \\ \left. \times \left[\frac{k(z_2+1)-J(z_1+1)}{(z_2+1)(z_1+kz_2)} \right] \left[\frac{z_1+z_2J}{z_1+z_2J+z_1z_2(1+J)} \right] \right\}. \quad (29)$$

Здесь и ниже верхний индекс у $j_1^{(i)}$ и $j_2^{(i)}$ означает, что ток определен при выполнении условия $c_i(0)=0$. Аналогично можно получить взаимосвязь токов, соответствующих реализации на электроде условия $c_2(0)=0$:

$$j_1^{(2)} = \frac{1}{1+J} \left\{ (z_1+1) + k(z_2+1) - (z_1+kz_2) \left(\frac{1+z_1}{z_1} \right) \times \right. \\ \left. \times \left[\frac{z_1(J(z_1+1)-k(z_2+1)}{J(z_1+1)(z_1+kz_2)} \right] \left[\frac{z_1+z_2J}{z_1+z_2J+z_1z_2(1+J)} \right] \right\}. \quad (30)$$

Условие $c_3(0)=0$, как следует из (27), приводит к следующей взаимосвязи между J и Ψ_0 :

$$(z_1+kz_2)v/J + A\Psi_0 - B \frac{\lambda}{\lambda-1} [e^{(\lambda-1)\Psi_0} - 1] = 0, \quad (31)$$

которая в общем случае не позволяет выразить Ψ_0 через J аналитически. Найдя из него Ψ_0 при заданном параметре J из численного решения уравнения (31), можно рассчитать из (28) ток $j_1^{(3)}$.

Наконец, рассмотрим, к каким ограничениям на токи приводит условие $c_4(x=0)=0$. В этом случае концентрация c_4 около электрода должна быть возрастающей функцией, т. е. иметь положительную производную ($dc_4/dx|_{x \rightarrow 0} > 0$). В силу положительности j_2 в правой части (15) стоит отрицательная величина. Это выполнимо только тогда, когда миграционный член в (15) остается всегда существенно отрицательной величиной, что возможно при $c_4 \rightarrow 0$ только при $d\Psi/dx \rightarrow +\infty$. Легко видеть, что последнее условие выполнимо лишь при условии, что кроме $c_4 \rightarrow 0$ все остальные концентрации c_1, c_2, c_3 одновременно обращаются на электроде в нуль и $\Psi \rightarrow -\infty$. Таким образом, условие $c_4(0) \geq 0$ не накладывает дополнительных по сравнению с уже обсужденными выше ограничений на предельные токи в системе.

Отметим, что формулы (23)–(26) в несколько ином виде были получены в [3], а формулы (29), (30) приведены в [3]¹ в форме неявной связи между j_1 и j_2 , требующей для построения зависимостей $j_1^{(1,2)}(j_2^{(1,2)})$ численного решения уравнений для $j_1^{(1,2)}$ при ряде фиксированных $j_2^{(1,2)}$. В настоящей работе используется параметрическое задание этих функций через независимый параметр J : $j_1^{(1,2)} = j_1^{(1,2)}(J)$; $j_2^{(1,2)} = J/v \cdot j_1^{(1,2)}(J)$, что позволяет построить эти кривые непосредственно.

Кривые $j_1^{(i)}(j_2^{(i)})$, соответствующие условиям $c_i(0)=0$, $i=1, 2, 3$, показаны на рис. 1 для ряда значений безразмерных параметров задачи.

Кривая $j_1^{(1)}(j_2^{(1)})$ начинается при $j_2^{(1)}=0$ из точки N , соответствующей обобщенной формуле Эйкена для произвольных зарядностей [6], и приходит в точку Q с координатами $j_1=z_1+1$, $j_2=(z_2+1)k/v$, где смыкается с аналогичной кривой $j_1^{(2)}(j_2^{(2)})$, выходящей из точки M . При этом кривые $j_1^{(1)}(j_2^{(1)})$ могут либо возрастать (рис. 1, а), либо иметь минимум, причем точка Q может располагаться как выше точки N (рис. 1, б), так и ниже ее (рис. 1, г). Как показывает исследование, точка Q располагается ниже точки N при выполнении условий

$$k > \frac{z_1}{z_2} (z_2^{1/z_2} - 1)^{-1}, \quad z_2 > 1. \quad (32)$$

¹ Отметим, что в формулах [3], соответствующих формулам (24)–(26) и (29) настоящей работы, имеются опечатки в обозначениях индексов зарядностей, устранившие в настоящей статье.

Отметим, что в [3] была описана только возможность монотонного возрастания $j_1^{(1)}(j_2^{(1)})$.

Весьма нетривиальным оказывается поведение зависимости $j_1^{(3)}(j_2^{(3)})$. График этой зависимости подразделяется на две ветви, разделенные точкой излома W . Точка W может лежать в общем случае как выше линии $j_1^{(1)}(j_2^{(1)})$ (рис. 1, а, в), так и ниже ее (рис. 1, б). При этом либо имеются две точки пересечения кривых $j_1^{(1)}(j_2^{(1)})$ и $j_1^{(3)}(j_2^{(3)})$, либо они отсутствуют. Точка R пересечения кривой $j_1^{(3)}(j_2^{(3)})$ с горизонтальной осью j_2 может располагаться как левее точки M пересечения кривой $j_1^{(2)}(j_2^{(2)})$ с осью j_2 (рис. 1, б, в), так и правее точки M (рис. 1, а), так что кривые

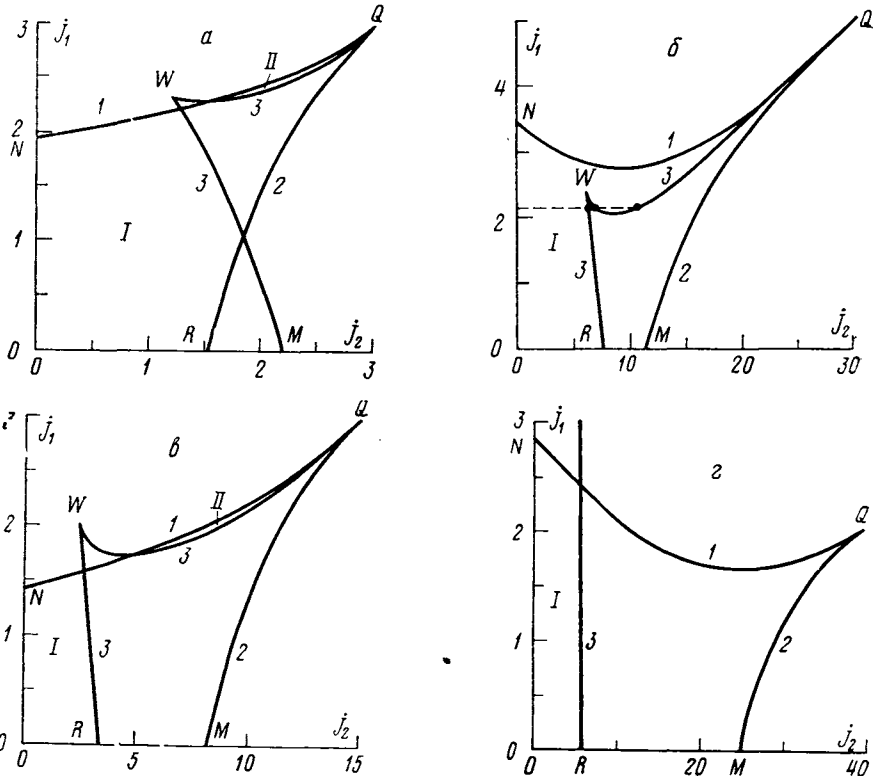


Рис. 1. Расположение кривых $j_1^{(i)}(j_2^{(i)})$ на плоскости (j_2, j_1) при $v=0,2$: 1 – $j_1^{(1)}(j_2^{(1)})$, 2 – $j_1^{(2)}(j_2^{(2)})$, 3 – $j_1^{(3)}(j_2^{(3)})$. а – $z_1=2$, $z_2=1$, $k=0,3$; б – $z_1=4$, $z_2=2$, $k=2$; в – $z_1=2$, $z_2=1$, $k=2$; г – $z_1=1$, $z_2=2$, $k=2,5$.

$j_1^{(3)}(j_2^{(3)})$ и $j_1^{(2)}(j_2^{(2)})$ либо пересекаются в одной точке, либо не пересекаются. Наконец, при $\Psi_0 \rightarrow -\infty$ все три кривые $j_1^{(i)}(j_2^{(i)})$ сходятся в точке Q , причем можно показать, что кривая $j_1^{(3)}(j_2^{(3)})$ находится ниже кривой $j_1^{(1)}(j_2^{(1)})$, но выше прямой $J=k(z_2+1)/(z_1+1)$.

Значениям токов j_1 и j_2 удовлетворяющим условиям $c_i(0) \geq 0$, соответствует область I на рис. 1, а, в, включающая начало координат, и дополнительно область II. Если точка W лежит ниже кривой $j_1^{(1)}(j_2^{(1)})$ (рис. 1, б), то получающаяся область физически реализуемых токов односвязна. Дополнительная область II, возникающая при нахождении W над кривой $j_1^{(1)}(j_2^{(1)})$, в принципе является физически реализуемой, однако в нее невозможно попасть при постепенном увеличении токов j_1 и j_2 от нуля. В эту область можно попасть лишь из нестационарного состояния.

В случае $z_1 < z_2$ взаимное расположение кривых $j_1^{(i)}(j_2^{(i)})$ имеет вид, показанный на рис. 1, г. Кривая $j_1^{(3)}(j_2^{(3)})$ имеет при этом единственную ветвь, выходящую за точку R , и асимптотически приближается к оси j_1 . Отметим, что при $z_1 < z_2$ также возможны случаи, когда точка R расположена

жена правее или левее точки M , и точка Q может находиться как выше, так и ниже точки N .

Обсудим в заключение основные результаты проведенного исследования. В случае протекания на электроде единственного процесса восстановления катионов, когда $j_2=0$, условие $c_1(0) \geq 0$ определяет физически реализуемую область токов разряда $j_i \leq j_i^{(1)}$ ($j_2=0$), т. е. ток должен быть меньше или равен предельному диффузионно-миграционному току. В случае протекания на электроде единственного процесса восстановления анионов по схеме (4), когда $j_1=0$, физически реализуемые значения токов определяются условиями $c_2(0) \geq 0$ и $c_3(0) \geq 0$ (условие $c_4(0) \geq 0$, как показало исследование, не дает дополнительных ограничений). В зависимости от значений параметров задачи v , k , \tilde{z}_1 , \tilde{z}_2 и \tilde{z}_3 лимитирование тока процесса (4) в отсутствие процесса (3) возможно либо в силу условия $c_2(0)=0$, либо в силу условия $c_3(0)=0$. В первом случае по мере увеличения тока происходит снижение концентрации $c_2(0)$ и при $c_2(0)=0$, $c_3(0)>0$ и $j_2=j_2^{(2)}$. Во втором случае при увеличении тока j_2 происходит опережающее снижение концентрации $c_3(0)$ и при $c_3(0)=0$, $c_2(0)>0$ и $j_2=j_2^{(3)}$.

Картина допустимых значений токов существенно усложняется при одновременном протекании процессов (3) и (4) в силу их взаимного влияния за счет эффектов электромиграции компонентов. В общем случае можно сказать, что область допустимых токов на плоскости j_2 , j_1 ограничена совокупностью условий $c_i(0, j_1, j_2) \geq 0$. Как показало проведенное исследование, эта область может быть как односвязной, так и многосвязной, т. е. состоящей из двух (или более) не пересекающихся областей.

Кривые $j_1^{(i)}$ ($j_2^{(i)}$), соответствующие связям токов процессов (3) и (4) при выполнении условий $c_i(0)=0$ и служащие границами области физически реализуемых токов, могут иметь участки убывания и возрастания. Эти участки можно интерпретировать как проявление эффектов локальной «депрессии» и локальной «экзальтации» миграционного тока, если увеличение одного тока приводит к тому, что предельное значение другого тока уменьшается или соответственно увеличивается.

Отметим, что из-за сложного характера поведения кривой $j_1^{(3)}$ ($j_2^{(3)}$) в системе могут существовать три значения предельных токов процесса (4) в определенной области допредельных токов j_1 процесса (3) (пунктир на рис. 1, б). Это связано с тем, что концентрация $c_3(0)$, рассматриваемая как функция тока j_2 при фиксированном значении тока j_1 , ведет себя немонотонно. При этом одно из возможных значений предельного тока $j_2^{(3)}$ (среднее) может достигаться лишь при уменьшении тока, что является весьма неожиданным.

Таким образом, проведенный анализ показывает, что в зависимости от параметров задачи в параллельно протекающих процессах (3) и (4) возможно проявление эффектов экзальтации и депрессии миграционного тока.

Обсудим в заключение частный случай $z_1=z_2$, при котором $B=0$. Уравнение (31) относительно Ψ_0 имеет один корень $\Psi_0=-AJ/v(z_1+kz_2)$, подставляя который в (28), можно найти явное параметрическое выражение для $j_1^{(3)}$.

Кроме того, в случае, когда все ионы имеют равные зарядности, можно найти распределение всех концентраций непосредственно из (12)–(16). Складывая (12)–(15) и интегрируя с учетом (16), получаем для c_3+c_4

$$c_3+c_4=(1+k)y, \quad (33)$$

где $y=1+(j_1+vj_2)(x-1)/(2+2k) \geq 0$ – линейная функция x . Отсюда с помощью (18) находим $d\Psi/dx$:

$$d\Psi/dx=\ln y. \quad (34)$$

Подставив (34) в уравнения (12)–(15), можно проинтегрировать линейные уравнения (12)–(15) и получить в явном виде распределение концентраций $c_i(x)$, $i=1-4$:

$$c_i(x)=[j_1(x-1)(1+y)/2+1]/y, \quad (35)$$

$$c_2(x) = [v j_2(x-1)(1+y)/2+k]/y, \quad (36)$$

$$c_3(x) = [2(1+k)\ln y/(v+j_1/j_2)+1+k]y, \quad (37)$$

$$c_4(x) = -2y(1+k)\ln y/(v+j_1/j_2). \quad (38)$$

Полагая в (35)–(37) при $x=0$ $c_i=0$, получаем выражения для соответствующих парциальных токов:

$$j_1^{(1)} = 2(1+k) + v j_2^{(1)}/2 + [(2+2k+v j_2^{(1)})^2 - 4(1+k)]^{1/2}, \quad (39)$$

$$v j_2^{(2)} = 2(1+k) - j_1^{(2)}/2 - [(2+2k-j_1^{(2)}/2)^2 - 4k(1+k)]^{1/2}, \quad (40)$$

$$2\ln[1-(j_1^{(3)}+v j_2^{(3)})/(2+2k)] = -j_1^{(3)}/j_2^{(3)} - v. \quad (41)$$

Определяемая формулой (41) зависимость $j_1^{(3)}(v j_2^{(3)})$ показана на рис. 2. При $j_2=0$ кривая $j_1^{(3)}(v j_2^{(3)})$ выходит из точки $j_1=2(1+k)$, касаясь прямой

$$j_1 + v j_2 = 2(1+k). \quad (42)$$

При $j_1=0$ кривая $j_1^{(3)}(v j_2^{(3)})$ попадает в точку $v j_2=2(1+k)[1-\exp(-v/2)]$. Эта точка может располагаться как левее, так и правее точки $v j_2=2(1+k)-2\sqrt{1+k}$, из которой выходит кривая (40). В первом случае, реализующемся при

$$1+k > \exp v, \quad (43)$$

кривые (40) и (41) не пересекаются, и процесс совместного восстановления катионов металла и анионов может лимитироваться только условиями (39) и (41). Во втором случае, когда выполняется условие, обратное (43), кривые (40) и (41) пересекаются и возможны три варианта лимитирования результирующего процесса, соответствующие условиям (39)–(41). При этом максимальный ток восстановления ионов металла

Рис. 2. Взаимное расположение на плоскости $(j_1, v j_2)$ кривых, соответствующих формулам: 1 – (42), 2 – (39), 3 – (40), 4 – (41) при выполнении неравенства (43), 5 – (41) при нене выполнении (43)

во всех случаях соответствует одновременному выполнению условий (40), (41).

Отметим, что левая часть неравенства (43) зависит через параметр k лишь от состава раствора, в то время как правая часть зависит через параметр v от стехиометрии реакции восстановления (4) и соотношения коэффициентов диффузии анионов и катионов.

Таким образом, максимальный парциальный ток электроосаждения катионов металла находится в пределах между минимальным значением $j_1=2(1+k)-2\sqrt{(1+k)k}$ и максимальным значением $j_1=2$. Указанный результат является следствием совместного действия эффекта снижения предельного тока восстановления катионов металла при добавлении в раствор катионов второго сорта и эффекта корреляционной экзальтации миграционного тока [2, 4], приводящего к увеличению предельного тока восстановления катионов.

ЛИТЕРАТУРА

- Гейровский Я., Кута Я. Основы полярографии. М.: Мир, 1965.
- Харкац Ю. И. // Электрохимия. 1978. Т. 14. С. 1840.
- Kharkats Yu. I. // J. Electroanalyst. Chem. 1979. V. 105. P. 97.
- Гуревич Ю. Я., Донченко М. И., Могронюк Т. И., Сокирко А. В., Харкац Ю. И. // Электрохимия. 1989. Т. 25. С. 784.
- Сокирко А. В., Харкац Ю. И. // Электрохимия. 1989. Т. 25. С. 1299.
- Hsueh L., Newman J. // Ind. Eng. Chem. Fund. 1971. V. 10. P. 615.

Институт электрохимии им. А. Н. Фрумкина
Академии наук СССР, Москва

Поступила в редакцию

13.VII.1988

После переработки поступила
21.IV.1989